

Redes Geodésicas

1. Redes geodésicas

a) Fases de realização de uma Rede Geodésica

1- Observação Geodésica – Observações de ângulos, distâncias, desníveis, vectores entre os vértices geodésicos da rede, coordenadas, desvios da vertical e gravimetria, com a aplicação das respectivas correcções e reduções;

2- Encadeamento Geodésico - Cálculo prévio das coordenadas dos vértices da rede através do transporte de coordenadas (problema directo da geodesia usando apenas um dos possíveis caminhos), no elipsóide ou plano cartog.;

3- Ajustamento da Rede – Com observações redundantes, as coordenadas da rede devem resultar de um ajustamento de observações pelo MMQ (única e precisa).

Redes Geodésicas

1. Redes geodésicas

b) Actualmente, as redes geodésicas são concebidas para dar resposta a diferentes problemas;

c) A Geodesia já não se limita unicamente à concepção de redes de apoio à cartografia e à topografia para a elaboração de mapas e cartas;

d) Hoje em dia constroem-se:

- redes de apoio (cartog., obras, etc.);
- redes permanentes de apoio (GPS RTK);
- redes de monitorização de estruturas;
- redes de monitorização geodinâmica;
- redes dinâmicas globais.

Redes Geodésicas

1.1 Encadeamento geodésico

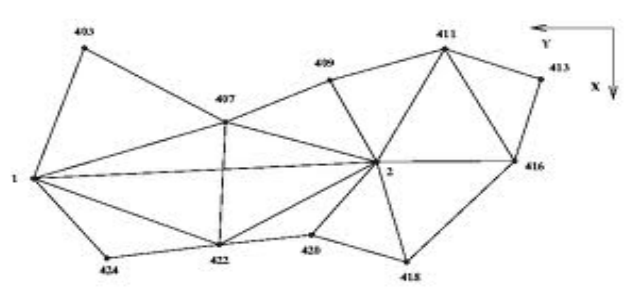
a) Cálculo de coordenadas aproximadas

- O transporte de coordenadas para todos os pontos da rede é feito a partir de um ponto inicial – *ponto origem do datum* – (onde, em termos clássicos, foram efectuadas observações astronómicas, observações azimutais e vários comprimentos), ou um conjunto de pontos fiduciais – *referencial primordial*;
- Resolvendo-se sucessivamente os triângulos da rede e aplicando as fórmulas do problema directo da geodesia às observações, obtêm-se as coordenadas iniciais;
- Dos múltiplos percursos para o transporte de coordenadas, basta escolher um qualquer caminho para se transportarem as coordenadas a todos os pontos da rede.

Redes Geodésicas

1.1 Encadeamento geodésico

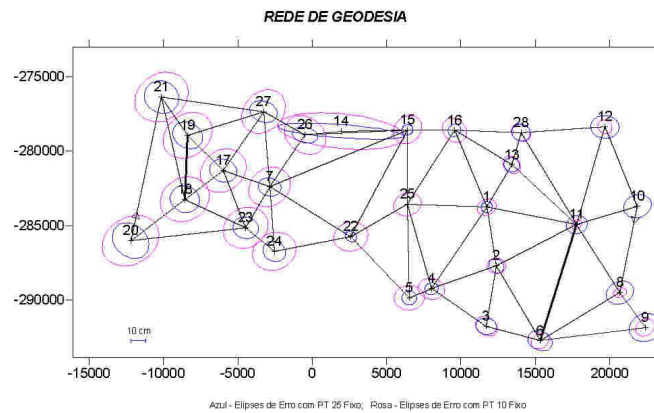
b) Observação da rede



- Todas as observações devem ser corrigidas dos erros respectivos e reduzidas ao elipsóide de referência através das correcções de redução

Redes Geodésicas

c) Exemplo: rede clássica do TP I

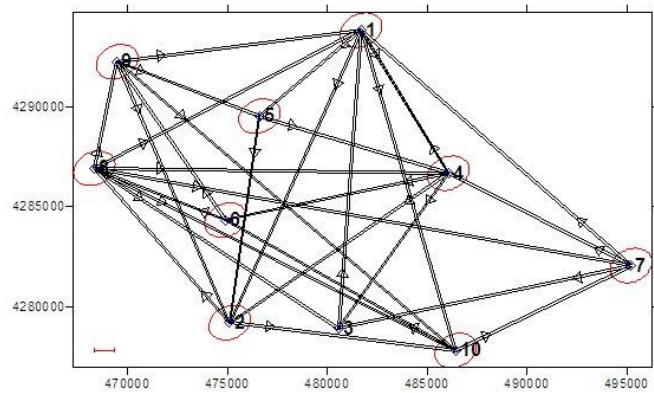


Geodesia e Aplicações- Aula 2

FCUL-EG

Redes Geodésicas

c) Exemplo: rede GPS do TP I



Geodesia e Aplicações- Aula 2

FCUL-EG

Redes Geodésicas

1.1 Encadeamento geodésico

b) Exemplo numérico do exercício prático

1- Determinam-se o lado b por;

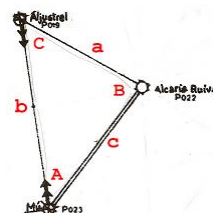
$$b = \arcsen\left(\frac{\text{sen}B \cdot \text{sen}c}{\text{sen}C}\right) \cdot R_a$$

2- Calcula-se o azimuth *Mú-Alcaria* a partir do azimuth e do ângulo medido em *Mú*;

3- Aplica-se o problema directo a partir de *Mú* para *Alcaria* e *Aljustrel*;

4- Determina-se o lado a e resolvem-se os triângulos adjacentes;

5- Procede-se de igual forma e repete-se o processo.

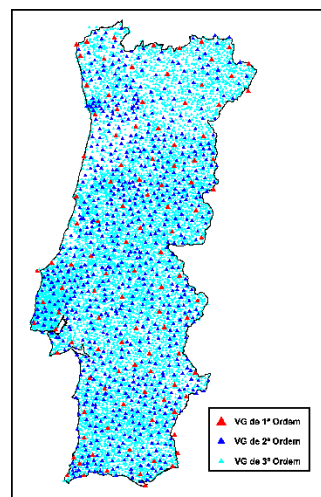
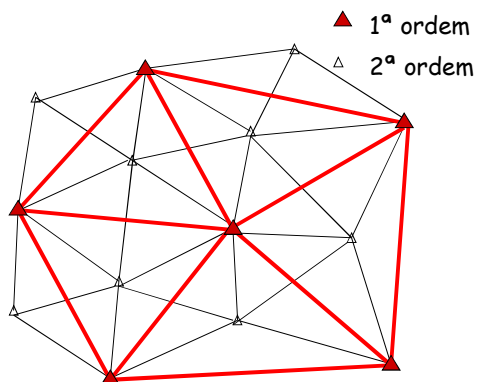


Geodesia e Aplicações- Aula 2

FCUL-EG

Redes Geodésicas

Rede geodésica nacional



Geodesia e Aplicações- Aula 2

FCUL-EG

Redes Geodésicas

1.2 Ajustamento de redes

a) O modelo matemático de um ajustamento é constituído por um modelo funcional e por um modelo estocástico;

b) O **modelo funcional** estabelece a relação matemática entre observações e coordenadas (os parâmetros do sistema) e é dado na sua forma geral por;

$$f(\bar{x}_t, \bar{l}_t) = \bar{0}$$

c) O **modelo estocástico** define e caracteriza a estatística e a correlação das observações e coordenadas e é constituído pelo conjunto de variâncias e covariâncias do sistema

$$\Sigma_{x,l} = [\Sigma_{xx}, \Sigma_{xl}, \Sigma_{lx}, \Sigma_{ll}]$$

Observações Clássicas

1.3 Observações geodésicas clássicas

a) São as grandezas necessárias à determinação de coordenadas dos vértices de uma rede geodésica:

- 1 – Azimutes Astronómicos
- 2 – Ângulos (direcções) azimutais
- 3 – Comprimentos
- 4 – Distâncias Zenitais (reduções na geodesia bidimensional)
- 5 – Desníveis (nivelamento geométrico)

b) Sendo obtidas num sistema AL, estas devem ser sujeitas às típicas **correções instrumentais e atmosféricas**, e às **correções de redução ao elipsóide** (AL → GL → G).

Observações Clássicas

2.1 Tipo de Erros

- a) Quanto à sua natureza
 - Aleatórios
 - Sistemáticos
 - Periódicos
 - Grosseiros
- b) Quanto à sua fonte
 - Instrumentais (aleatórios, sistemáticos e periódicos)
 - Operação (aleatórios, sistemáticos e grosseiros)
 - Atmosféricos (aleatórios, sistemáticos e periódicos)

Observações Clássicas

2.2 Conceitos

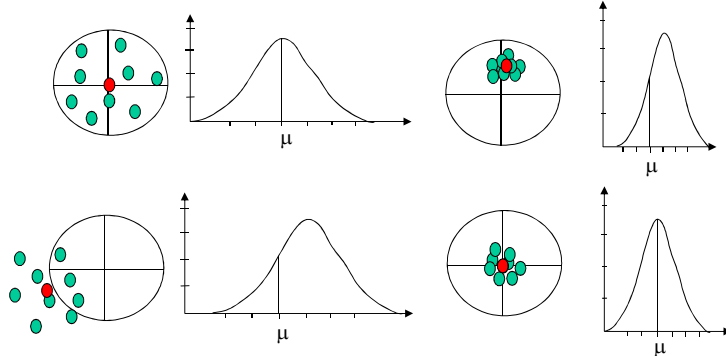
Precisão (ou incerteza padrão): traduz o grau de conformidade ou a dispersão das medidas de uma mesma quantidade. Se a dispersão dos valores for pequena (σ pequeno), então as medidas dizem-se precisas.

Exactidão (ou precisão absoluta): traduz a proximidade do conjunto das medidas, ou da sua média, relativamente ao valor médio (μ). Ou ainda, traduz um enfiamento entre o valor observado e o valor verdadeiro, provocado por um erro sistemático.

Observações Clássicas

Precisão \Leftrightarrow valor de σ

Exactidão \Leftrightarrow valor de $(\mu - x)$



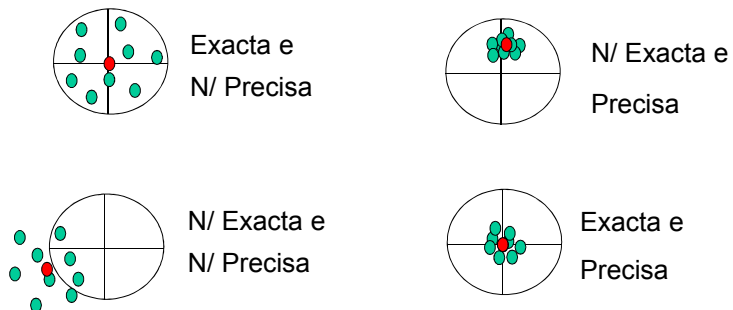
Geodesia e Aplicações- Aula 2

FCUL-EG

Observações Clássicas

Precisão \Leftrightarrow valor de σ

Exactidão \Leftrightarrow valor de $(\mu - x)$



Geodesia e Aplicações- Aula 2

FCUL-EG

Observações Clássicas

2.3 Teoria e análise de erros de observação

a) Numa medição de qualquer tipo intervêm várias causas de erro;

b) O erro total ε , proveniente dos erros devidos às diferentes causas (x,y,z,...) é dado por $\varepsilon = f(x, y, z, \dots)$

a qual pode ser expressa num desenvolvimento em série de Mac-Laurin

$$\varepsilon = f(0,0,0,\dots) + \frac{\partial f}{\partial x}\bigg|_0 \cdot x + \frac{\partial f}{\partial y}\bigg|_0 \cdot y + \frac{\partial f}{\partial z}\bigg|_0 \cdot z + \dots$$

c) Admitindo que os erro (x,y,z,...) são muito pequenos, a série pode ser truncada na 1ª ordem e, conseqüentemente, **os erros podem ser considerados independentes** e ser estudados em separado.

Observações Clássicas

2.4 Erros instrumentais e atmosféricos

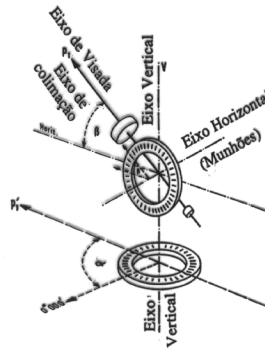
Erros	Azimutais	Zenitais	Comprimentos
Instrumentais	1- Falta de verticalidade do Eixo Principal; 2 – Falta de horizontalidade do eixo secundário; 3- Colimação; 4- Má graduação do limbo; 5- Excentricidades; 6- Inclinação do limbo; 7- Torção	1- Erro de índice ou colimação vertical	1- Excentricidade (Constante aditiva); 2- Catenária (Invar)
Atmosféricos	1- Refracção lateral; 2- Tremelina	1- Refracção vertical	1- Refracção; 2- Variação de frequência;

Observações Clássicas

2.5 Erros do Teodolito

a) Condições geométricas de construção do Teodolito

- 1- Os seus eixos devem ser perpendiculares entre si;
- 2- O limbo deve ser perpendicular ao eixo principal;
- 3- O eixo principal deve passar pelo centro do limbo;
- 4- A graduação do limbo deve ser uniforme;



Geodesia e Aplicações- Aula 2

FCUL-EG

Observações Clássicas

2.5 Erros do Teodolito

- b) A não satisfação destas condições origina erros instrumentais;
- c) Estas condições advêm do facto do sistema de referência instrumental dever, em condições ideais de observação, ser coincidente ao sistema de referência astronómico local (AL);
- d) O eixo principal deve coincidir com a vertical de lugar; o plano do limbo deve ficar na horizontal e o plano de pontaria deve ser vertical e conter a vertical de lugar da estação;
- e) A não satisfação da 1ª condição origina os erros ditos axiais; a não satisfação da última condição origina erros de má graduação;
- f) É importante referir que estes erros estão de igual modo presentes nos teodolitos electrónicos.

Geodesia e Aplicações- Aula 2

FCUL-EG

Observações Clássicas

2.5 Erros do Teodolito

Modo de operação para colmatar os erros:

- 1 – **Observações Conjugadas** – elimina os erros de colimação, falta de horizontalidade do eixo secundário, excentricidades da linha de pontaria e do limbo;
- 2 – **Reiteração do limbo** – minimizam erros de má graduação do limbo e da sua inclinação e melhora a estatística dos ângulos relativamente a erros de pontaria e refração;
- 3 – **Rotação progressiva e regressiva da alidade** – elimina erros de folgas e de torção.

Observações encruzadas = conjugadas + rotações contrárias

Observações Clássicas

3.1 Observações de ângulos azimutais

- a) A observação de ângulos azimutais exige um grande cuidado, quer por via dos erros, quer por via do seu tratamento matemático;
- b) Por via dos erros, o método de observação deve ser completo e colmatar todos os erros instrumentais que influenciam nas medições;
- c) Por via do tratamento matemático, as observações angulares devem corresponder a um conjunto de medidas homogêneas (de igual precisão) e o mais independente possível (sem correlação);
- d) Até ao aparecimento dos EDM's modernos eram as medidas mais precisas, desde que efectuadas com o equipamento adequado e usando os métodos mais elaborados;

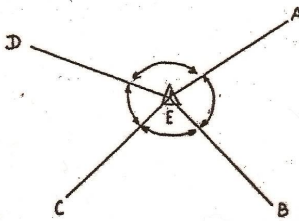
Observações Clássicas

3.1 Métodos de observações angular

a) Método de ângulos justapostos

Apresenta inconvenientes:

- Os ângulos deduzidos (\widehat{AEC} , \widehat{BED} , etc.) têm precisões diferentes das dos ângulos medidos directamente;
- As direcções são dependentes umas das outras



Geodesia e Aplicações- Aula 2

FCUL-EG

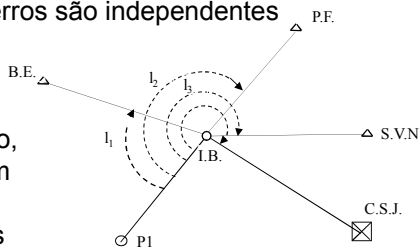
Observações Clássicas

3.1 Métodos de observações angular

b) Método dos giros do horizonte - Mais simples e com mais vantagens:

- Todos os ângulos deduzidos têm a mesma precisão teórica;
- As direcções e os seus erros são independentes

∴ A luz do Sol, a refração, a névoa e neblina, podem dificultar a visibilidade simultânea das direcções



Geodesia e Aplicações- Aula 2

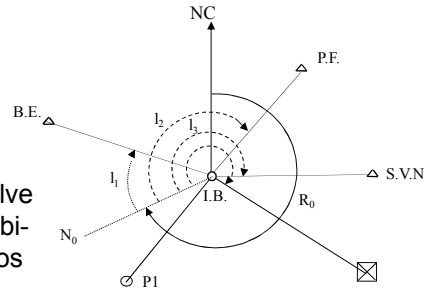
FCUL-EG

Observações Clássicas

3.1 Métodos de observações angular

c) Método dos giros do horizonte com referência externa (método das direcções)

∴ Este método mantém as características do método anterior e resolve o problema da impossibilidade de observar todos ao mesmo tempo



Observações Clássicas

3.2 Métodos de observações de Distâncias

a) Método directo – Medição com fios de Invar

b) Métodos indirectos – Medição electrónica de distâncias

◆ Por tempo de percurso de um impulso



$$D = c \cdot \frac{t}{2} + \epsilon_{atm}$$

$$\sigma_t = 1ns \Rightarrow \sigma_D = 15cm$$

◆ Por diferença de fase

$$\Delta\phi = \phi_c - \phi_0$$

$$D = c \cdot \frac{\Delta\phi}{2f} + \epsilon_{atm}$$



Observações Clássicas

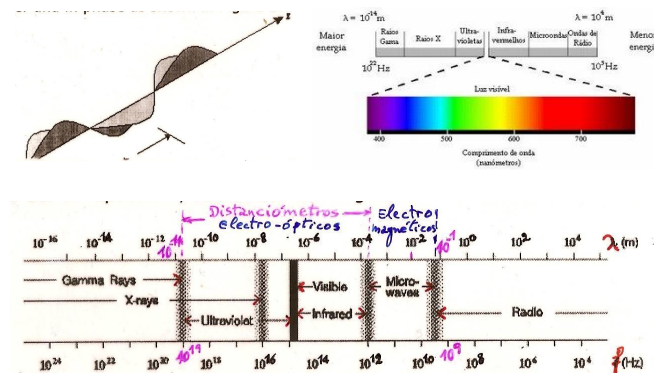
3.2 Métodos de observações de Distâncias

- c) Todos os principais aparelhos electrónicos de medição de distâncias baseiam-se neste princípio;
- d) O tipo de radiação utilizado nas suas ondas de transporte pode ser: radiação luminosa (verde ou azul), radiação infravermelha ou micro-ondas;
- e) No caso da radiação luminosa (distanciómetros electro-ópticos) e o infravermelho, o sinal de medida é modelado no emissor sobre uma onda portadora, é transmitido para o reflector e devolvido para o receptor que se encontra junto do emissor;
- f) No receptor são comparadas as fases das ondas, emitidas e recebidas, e é deduzida a distância entre emissor-reflector;

Observações Clássicas

3.2 Métodos de observações de Distâncias

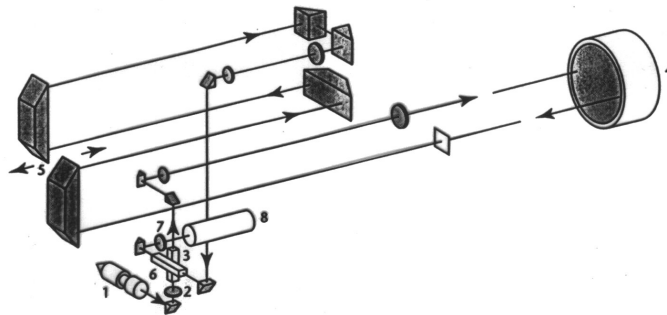
- g) Natureza das ondas electromagnéticas



Observações Clássicas

3.2 Métodos de observações de Distâncias

h) Princípio óptico de um distanciômetro (EDM)



Geodesia e Aplicações- Aula 2

FCUL-EG

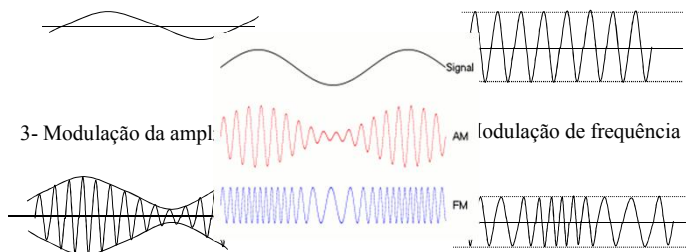
Observações Clássicas

3.2 Métodos de observações de Distâncias

i) Tipos de modulação do sinal do EDM

1- Sinal

2- Onda portadora



Geodesia e Aplicações- Aula 2

FCUL-EG

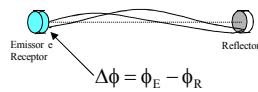
Observações Clássicas

3.2 Métodos de observações de Distâncias

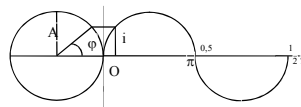
j) Natureza do sinal emitido e recebido

Emissão - $y_E = A \sin(\omega t) = A \sin \varphi$

Recepção - $y_R = A \sin[\omega(t + \Delta t)] = A \sin(\varphi + \Delta \varphi)$



Conversão de sinal-seno em sinal rectangular



Sendo o sinal contínuo, os valores do sinal emitido y_E e do sinal recebido y_R mudarão com o tempo, mas a **diferença de fase $\Delta \varphi$ permanecerá constante**

Observações Clássicas

3.2 Métodos de observações de Distâncias

l) Cálculo da distância

- tempo de percurso

$$T = [N(\text{ciclos completos}) + \Delta N(\text{fracção de ciclo})] \cdot \tau$$

- período da radiação $\tau = \frac{1}{f} = \frac{\lambda}{c}$

- fracção de tempo $\Delta t = \Delta N \cdot \tau = \Delta N \cdot \frac{\lambda}{c} = \frac{\Delta \varphi}{2\pi} \cdot \frac{\lambda}{c}$

Observações Clássicas

3.2 Métodos de observações de Distâncias

m) Cálculo da distância

- Distância em função de N comprimentos de onda e da diferença de fase

$$D = \frac{c}{2} (N + \Delta N) \cdot \tau = \frac{c}{2} (N \cdot \tau + \Delta t)$$

ou

$$D = \frac{c}{2} \left(N \cdot \frac{\lambda}{c} + \frac{\Delta \phi}{2\pi} \cdot \frac{\lambda}{c} \right) = \left(N + \frac{\Delta \phi}{2\pi} \right) \cdot \frac{\lambda}{2}$$

onde $U = \frac{\lambda}{2}$ é chamada a unidade de comprimento do distanciómetro

Observações Clássicas

3.2 Métodos de observações de Distâncias

n) Cálculo da distância

$$D = N \cdot U + L$$

- N é o número inteiro de comprimentos de onda, e é a ambiguidade desta relação de observação, onde apenas o termo da fracção de onda é conhecido;

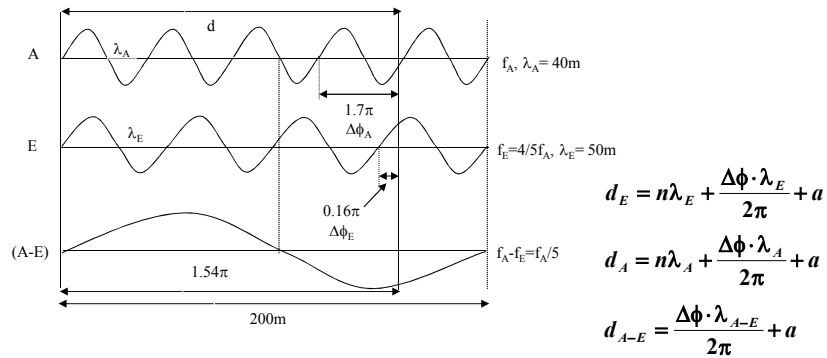
- Esta ambiguidade não é determinada mas resolvida indirectamente através da introdução de mais uma unidade de comprimento (uma segunda onda);

- A mais pequena das unidades é a **unidade fundamental** do distanciómetro e é utilizada para obter a medida fina do valor da distância.

Observações Clássicas

3.2 Métodos de observações de Distâncias

o) Frequência portadora não modulada e sua diferença



Geodesia e Aplicações- Aula 2

FCUL-EG

Observações Clássicas

3.2 Métodos de observações de Distâncias

p) A precisão de um distanciômetro depende, basicamente, da escolha da sua unidade fundamental, em virtude da limitação da medição de diferença de fase ($\approx 1\%\lambda$);

q) Em Geodesia, existem dois tipos fundamentais de distanciômetros de longo alcance: **electro-ópticos** (geodímetros) e os **electromagnéticos** (telurômetros);

r) Os electro-ópticos usam ondas da banda do visível ou do infravermelho; os electromagnéticos usam ondas portadoras da banda das micro-ondas, não exigem inter-visibilidade e permitem alcances até 150 km (usados na Hidrografia);

s) Os modernos distanciômetros electro-ópticos possuem uma portadora "laser" (Light Amplification by Stimulated Emission Radiation).

Geodesia e Aplicações- Aula 2

FCUL-EG

Observações GNSS

4.1 Métodos de observações

Modos de observação: {
- estático
- cinemático

Modo estático: {
- estático (fase ou código)
- rápido-estático (fases L1 e L2 + código)

Modo cinemático: {
- Diferencial (código - DGPS)
- RTK (fases L1 e L2 + código - PDGPS)

Observações GNSS



Observações GNSS

4.2 Posicionamento Preciso - PDGNSS

Fase observada

$$\varphi_k^p(t) = \varphi_1^p(t) - \frac{f p_k^p(t)}{C} - \varphi_k(t) + N_k^p(1)$$

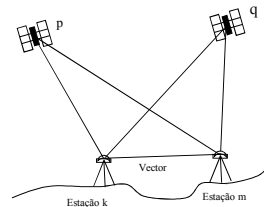
Diferenças simples da fase observada

$$\Delta_{km}^p = \varphi_k^p(t) - \varphi_m^p(t) = -\frac{f}{C} [\rho_k^p(t) - \rho_m^p(t)] - [\varphi_k(t) - \varphi_m(t)] + N_{km}^p$$

Diferenças duplas da fase observada

$$\Delta_{km}^{pq} = \Delta_{km}^p - \Delta_{km}^q = -\frac{f}{C} \{ [\rho_k^p(t) - \rho_m^p(t)] - [\rho_k^q(t) - \rho_m^q(t)] \} + N_{km}^{pq}$$

Com $\rho_m^p = \sqrt{(X^p - X_m)^2 + (Y^p - Y_m)^2 + (Z^p - Z_m)^2}$



Geodesia e Aplicações- Aula 2

FCUL-EG

Observações GNSS

4.2 Posicionamento Preciso - PDGNSS

a) Com observações de 1 hora a 15 segundos de intervalo, observando-se em simultâneo 6 satélites pelas estações k e m, forma-se um sistema de:

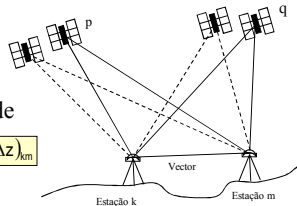
$$4 \text{ obs/min} \times 60 \text{ min} \times (6 \text{ sat} - 1) = 1200 \text{ equações}$$

b) Sistema de n observações de diferenças duplas de fase permitem determinar o vector:

$$\Delta X_{km} = (\Delta x, \Delta y, \Delta z)_{km}$$

c) O sistema de equações resolve-se pelo MMQ, resultando a solução e a respectiva matriz de variâncias-covariâncias:

$$\Delta X_{km} ; \Sigma_{\Delta X} = \begin{bmatrix} \sigma_{xx}^2 & \sigma_{xy}^2 & \sigma_{xz}^2 \\ \sigma_{yx}^2 & \sigma_{yy}^2 & \sigma_{yz}^2 \\ \sigma_{zx}^2 & \sigma_{zy}^2 & \sigma_{zz}^2 \end{bmatrix}$$



Geodesia e Aplicações- Aula 2

FCUL-EG

Observações GNSS

4.2 Posicionamento Preciso - PDGNSS

d) É possível converter o vector espacial ΔX em observações clássicas (azimute, dist. Zenital e distância linear), sabendo-se as coordenadas geodésicas (φ, λ, h) do ponto estação k, por:

$$\begin{cases} \alpha_{km} = \arctg \left(\frac{-\sin \lambda_k \cdot \Delta X + \cos \lambda_k \cdot \Delta Y}{-\sin \varphi_k \cdot \cos \lambda_k \cdot \Delta X - \sin \varphi_k \cdot \sin \lambda_k \cdot \Delta Y + \cos \varphi_k \cdot \Delta Z} \right) \\ Z'_{km} = \arcsen \left(\frac{\cos \varphi_k \cdot \cos \lambda_k \cdot \Delta X + \cos \varphi_k \cdot \sin \lambda_k \cdot \Delta Y + \sin \varphi_k \cdot \Delta Z}{s} \right) \\ s_{km} = \sqrt{\Delta X^2 + \Delta Y^2 + \Delta Z^2} \end{cases}$$

c) E com a relação diferencial entre este dois tipos de vector pode-se obter a respectiva matriz de variâncias-covariâncias, por aplicação da LGPVC:

$$(\alpha, Z, s)_{km} ; \Sigma_{\Delta X} = \begin{bmatrix} \sigma_{\alpha}^2 & \sigma_{\alpha Z}^2 & \sigma_{\alpha s}^2 \\ \sigma_{Z\alpha}^2 & \sigma_Z^2 & \sigma_{Zs}^2 \\ \sigma_{s\alpha}^2 & \sigma_{sZ}^2 & \sigma_s^2 \end{bmatrix}$$

Geodesia e Aplicações- Aula 2

FCUL-EG

Observações combinadas

5. Observações geodésicas combinadas

- a) É possível combinar todo o tipo de observações clássicas, de triangulação, nivelamento e GNSS, num só sistema de equações de ajustamento tridimensional de uma rede geodésica;
- b) Para redes planimétricas, podem-se combinar as observações clássicas de azimutes geodésicos, de direcção azimutal, de distâncias geodésicas e azimutes e distâncias provenientes da conversão de vectores GNSS;
- c) Dado que a altitude geodésica (h) é uma grandeza geométrica, para se obter a altitude ortométrica (H) deve-se ainda aplicar um modelo numérico de geóide de forma a resultar

$$H_m = h_m - N_m \quad \text{ou} \quad H_m = h_k + \Delta h_{km} - N_m$$

Geodesia e Aplicações- Aula 2

FCUL-EG